

ES710 – Controle de Sistemas Mecânicos

# **13 – Resposta em frequência**

Eric Fujiwara

Unicamp – FEM – DSI

# Índice

- **Índice:**
  - 1) Resposta em frequência;
  - 2) Diagrama de Bode;
  - 3) Identificação de sistemas;
  - Questionário;
  - Referências;
  - Exercícios.

# 1. Resposta em frequência

## ▪ 1.1. Excitação senoidal:

- Seja uma planta  $G(s)$  com entrada  $U(s)$  e saída  $Y(s)$ ;
- Suponha um **signal de excitação periódico simples**,

$$u(t) = A \sin \omega t \quad (1)$$

- A transformada de Laplace deste sinal é

$$U(s) = \frac{A\omega}{s^2 + \omega^2} \quad (2)$$

- Obs: sinais periódicos simples ou complexos podem ser expandidos em uma série de Fourier.

# 1. Resposta em frequência

## ▪ 1.1. Excitação senoidal:

- A resposta do sistema é dada pela transformada de Laplace inversa de

$$Y(s) = G(s)U(s) = G(s) \frac{A\omega}{s^2 + \omega^2} \quad (3)$$

- Contudo, uma vez que o regime estacionário é atingido, a resposta do sistema pode ser simplesmente calculada fazendo  $s = j\omega$ :

$$G(j\omega) = |G(j\omega)| \angle G(j\omega) \quad (4)$$

- A saída é um sinal periódico, portanto  $G(j\omega)$  é um número complexo.

# 1. Resposta em frequência

## ▪ 1.1. Excitação senoidal:

- Dada uma entrada  $u(t)$  periódica, um sistema LTI  $G(s)$  promove dois efeitos no sinal de saída  $y(t)$ : variação de magnitude e defasagem;
- A **magnitude** é dada por:

$$|G(j\omega)| = \frac{|Y(j\omega)|}{|U(j\omega)|} \quad (5)$$

- A **diferença de fase** é

$$\phi = \angle G(j\omega) = \angle Y(j\omega) - \angle U(j\omega) \quad (6)$$

# 1. Resposta em frequência

## ▪ 1.1. Excitação senoidal:

- Nota-se que a variação de magnitude e fase depende da **frequência**  $\omega$  do sinal de excitação;
  - $\omega$  é um parâmetro da entrada, e não do sistema!
  - Como analogia, pense em um filtro ou AMPOP;
- É possível representar a **resposta em frequência** de um sistema  $G(j\omega)$  em termos dos seus gráficos de magnitude  $|G(j\omega)|$  e fase  $\phi(j\omega)$  → **Diagrama de Bode**.

# 1. Resposta em frequência

## ▪ 1.2. Sistema de primeira ordem:

- Resposta em frequência do **sistema de primeira ordem**:

$$G(j\omega) = \frac{K}{\tau j\omega + 1} \quad (7)$$

- Magnitude (normalizada):

$$|G(j\omega)| = \frac{1}{\sqrt{1 + (\omega\tau)^2}} \quad (8)$$

- Fase:

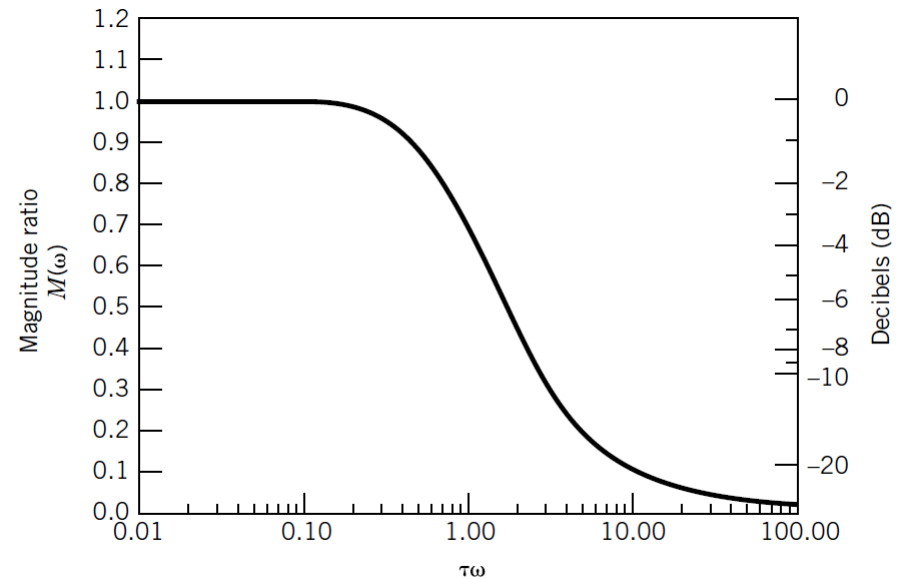
$$\phi(j\omega) = -\tan^{-1}(\omega\tau) \quad (9)$$

# 1. Resposta em frequência

## ▪ 1.2. Sistema de primeira ordem:

### • Diagrama de Bode: magnitude

- Em baixas frequências, a saída não é atenuada em relação à entrada;
- Em altas frequências, a saída tende a ser atenuada, como em um filtro passa-baixa;
- A frequência de corte depende das características do sistema.



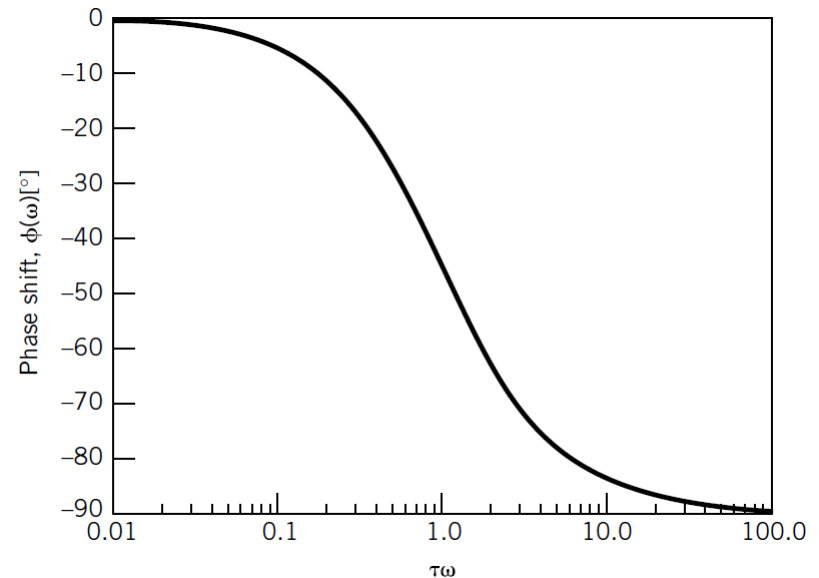


# 1. Resposta em frequência

## ▪ 1.2. Sistema de primeira ordem:

### • Diagrama de Bode: fase

- Em baixas frequências, a saída está em fase com a entrada;
- Aumentado a frequência, a saída começa a ser defasada em relação à entrada;
- A defasagem máxima é de  $-90^\circ$ ;
- Em  $\omega = 1/\tau$ , a defasagem é de  $-45^\circ$ .



# 1. Resposta em frequência

## ▪ 1.3. Sistema de segunda ordem:

- Resposta em frequência do **sistema de segunda ordem**:

$$G(j\omega) = \frac{K}{(j\omega)^2 + 2\xi\omega_n(j\omega) + \omega_n^2} \quad (10)$$

- Magnitude (normalizada):

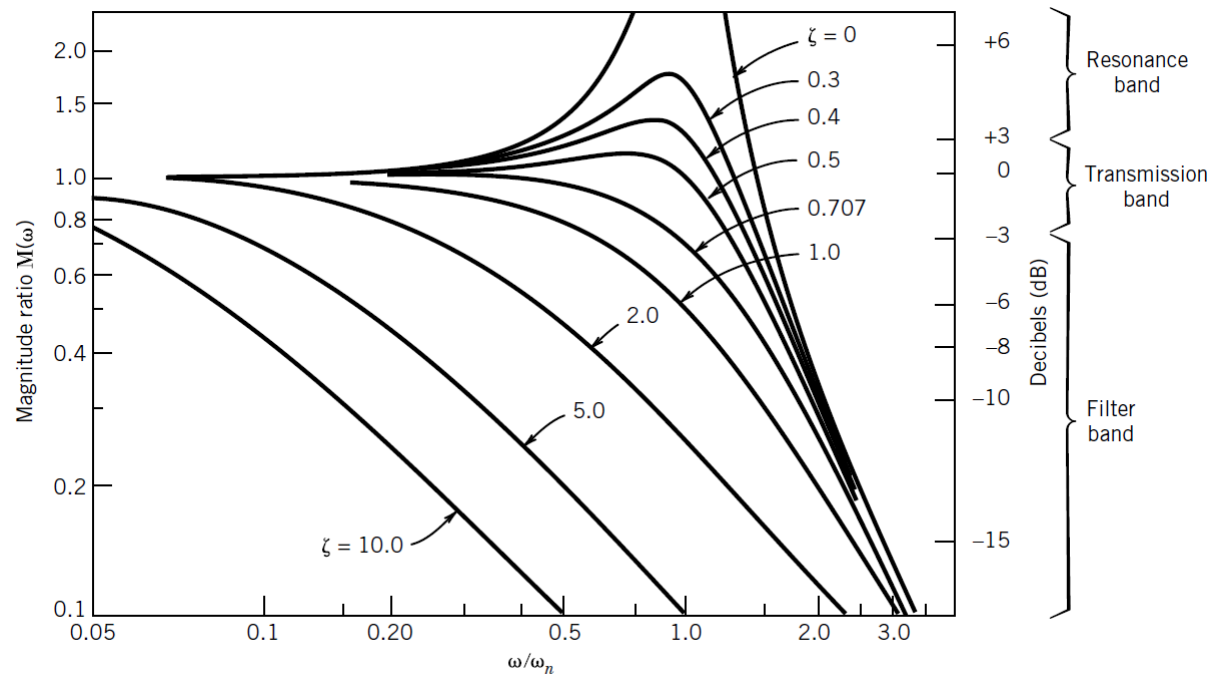
$$|G(j\omega)| = \frac{1}{\sqrt{[1 - (\omega/\omega_n)^2]^2 + [2\xi\omega/\omega_n]^2}} \quad (11)$$

- Fase:

$$\phi(j\omega) = -\tan^{-1} \left[ \frac{2\xi\omega/\omega_n}{1 - (\omega/\omega_n)^2} \right] \quad (12)$$

# 1. Resposta em frequência

- 1.3. Sistema de segunda ordem:
  - Diagrama de Bode: magnitude



# 1. Resposta em frequência

## ▪ 1.3. Sistema de segunda ordem:

### • Diagrama de Bode: magnitude

- A saída é atenuada com o aumento da frequência;
- Em sistemas sub-amortecidos com  $\xi < 0.707$ , é observada uma banda de ressonância que faz a magnitude da saída ser maior do que a entrada,  $|G(j\omega)| > 1$ ;
- Sistemas com  $\xi \geq 0.707$  não apresentam ressonância;
- A **frequência de ressonância** é aproximada por

$$\omega_R = \omega_n \sqrt{1 - 2\xi^2}$$

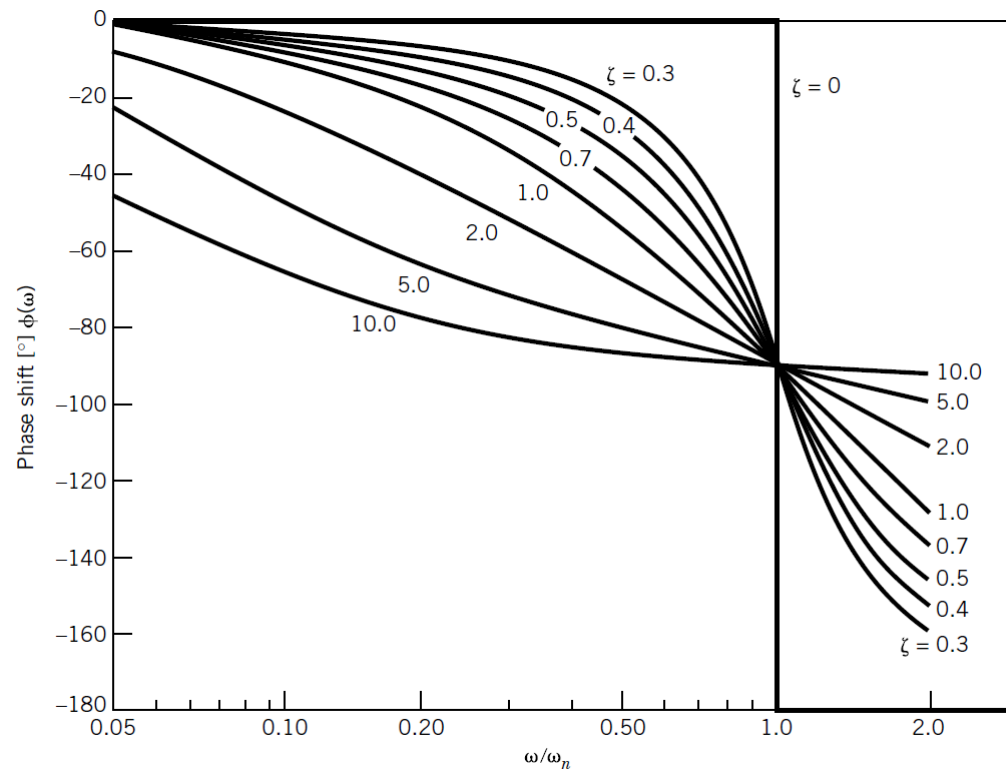
(12)

# 1. Resposta em frequência

- 1.3. Sistema de segunda ordem:
  - Diagrama de Bode: magnitude
    - A **frequência de corte**  $\omega_c$  é a frequência na qual a magnitude é reduzida  $-3$  dB em relação ao valor inicial;
    - A **largura de banda** de um sistema é definida como a faixa de frequências  $0 \leq \omega \leq \omega_c$  na qual a saída consegue seguir o sinal de entrada de forma satisfatória em magnitude e fase;
    - Para um sistema de segunda ordem, a **banda de transmissão** é geralmente definida como a faixa de frequências onde a magnitude assume valor  $+3 \geq M(\omega) \geq -3$  dB;
    - Abaixo de  $-3$  dB, a atenuação do sinal de saída é considerável e o sistema opera na **banda de filtragem**.

# 1. Resposta em frequência

- 1.3. Sistema de segunda ordem:
  - Diagrama de Bode: fase



# 1. Resposta em frequência

- **1.3. Sistema de segunda ordem:**
  - **Diagrama de Bode: fase**
    - A saída tende a ser defasada com o aumento da frequência;
    - No caso crítico de ressonância ( $\xi = 0$ ), ocorre uma inversão abrupta de fase quando a frequência da entrada é igual à frequência natural do sistema;
    - A defasagem máxima é de  $-180^\circ$ ;
    - Em  $\omega = \omega_n$ , a defasagem é de  $-90^\circ$ .

## 2. Diagrama de Bode

### ▪ 2.1. Efeito do ganho:

- Como o plot de magnitude é apresentado em escala logarítmica, um ganho linear  $K$  resulta em uma variação de  $20 \log_{10} K$  no diagrama de Bode;
  - Uma variação de 50% na magnitude do sinal implica em uma queda de  $20 \log_{10} 0.5 = -6.02$  dB;
  - Note que  $20 \log_{10}(1/K) = -20 \log_{10} K$ ;
- **Obs:** Por convenção, utiliza-se  $20 \log_{10} K$  (magnitude) ao invés de  $10 \log_{10} K$  (potência).



## 2. Diagrama de Bode

### ▪ 2.2. Fator integral:

- A magnitude de um integrador  $1/s$  é:

$$M = 20 \log \left| \frac{1}{j\omega} \right| = 20 \log \frac{1}{\omega} = -20 \log \omega \quad (13)$$

- A defasagem é:

$$\phi = \tan^{-1} \left( \frac{1}{j\omega} \right) = -\tan^{-1} \left( \frac{1/\omega}{0} \right) = -90^\circ \quad (14)$$

- Como a frequência é expressa em escala log, o integrador causa uma queda linear com ganho  $-20$  dB em magnitude e defasagem constante de  $-90^\circ$ .

## 2. Diagrama de Bode

### ▪ 2.3. Fator derivativo:

- A magnitude de um derivador  $s$  é:

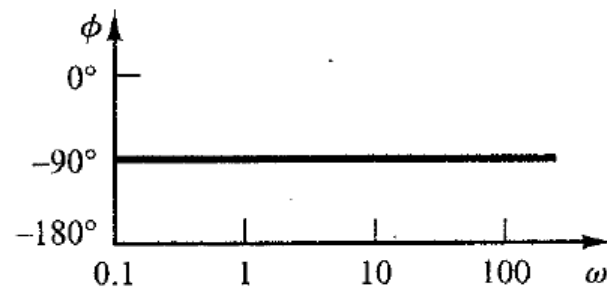
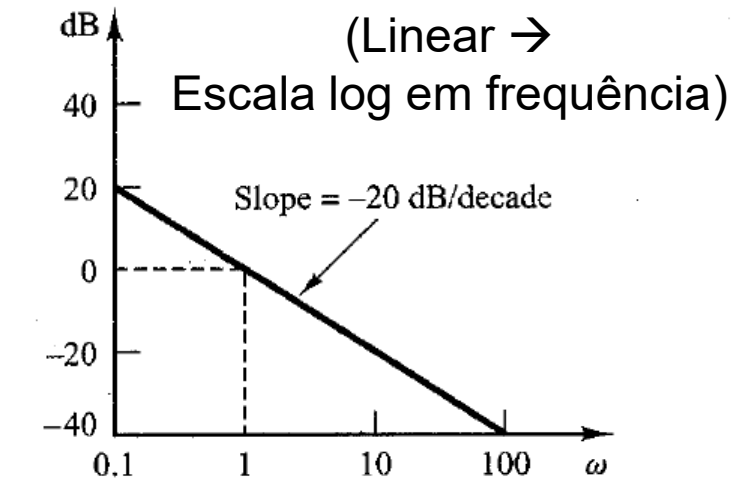
$$M = 20 \log |j\omega| = 20 \log \omega \quad (15)$$

- A defasagem é:

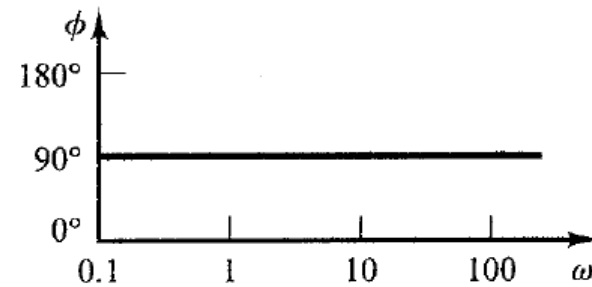
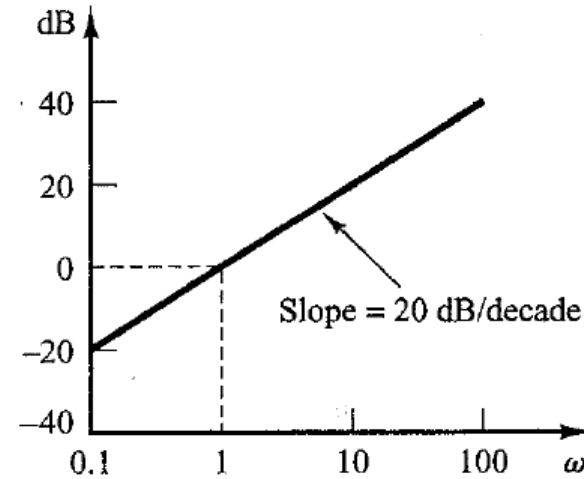
$$\phi = \tan^{-1}(j\omega) = \tan^{-1}(\omega/0) = +90^\circ \quad (16)$$

- Como a frequência é expressa em escala log, o derivador causa uma amplificação linear com ganho +20 dB em magnitude e defasagem constante de +90°.

## 2. Diagrama de Bode



Bode diagram of  
 $G(j\omega) = 1/j\omega$   
Integrador



Bode diagram of  
 $G(j\omega) = j\omega$   
Derivador

## 2. Diagrama de Bode

### ▪ 2.4. Fator de primeira ordem:

- Conforme visto anteriormente, uma planta de primeira ordem causa atenuação proporcional à frequência e defasagem máxima de  $-90^\circ$ ;
- A frequência de cruzamento das assíntotas em magnitude é  $\omega = 1/\tau$ ;

- Magnitude:

$$M(\omega = 1/\tau) = \frac{1}{\sqrt{1 + (1)^2}} = 0.707 = -3.01 \text{ dB} \quad (17)$$

- Fase:

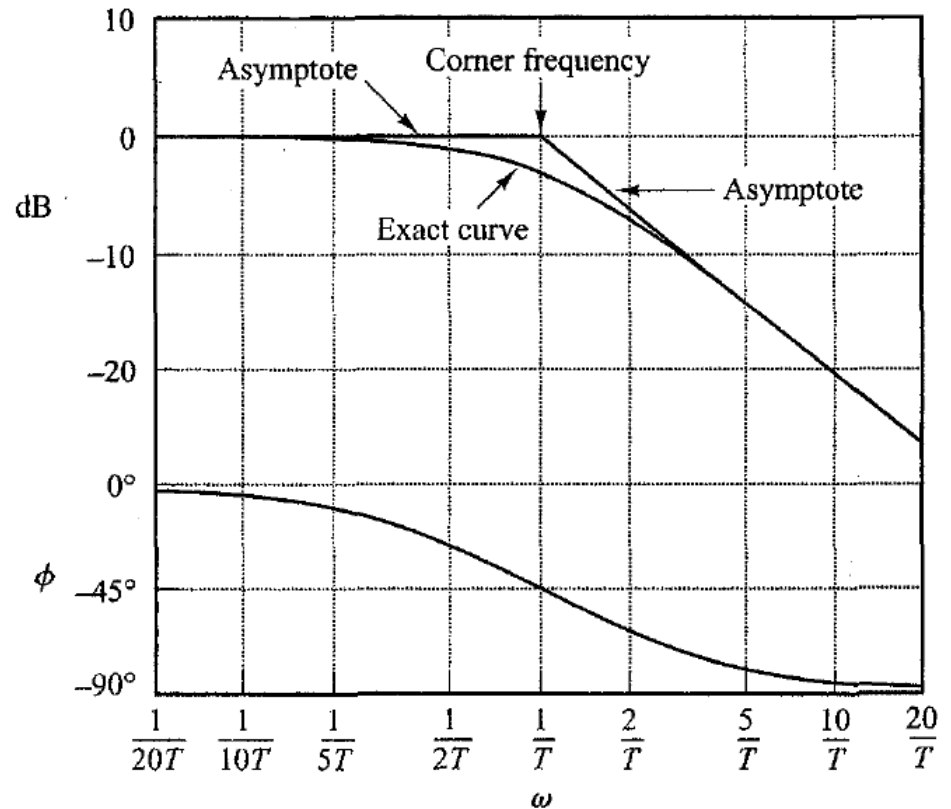
$$\phi(\omega = 1/\tau) = -\tan^{-1}(1) = -45^\circ \quad (18)$$

## 2. Diagrama de Bode

### 2.4. Fator de primeira ordem:

- Diagrama de Bode:

$$G(j\omega) = \frac{1}{j\omega T + 1}$$



## 2. Diagrama de Bode

### ▪ 2.4. Fator de segunda ordem:

- A planta de segunda ordem causa atenuação proporcional à frequência que depende do fator de amortecimento, além de defasagem máxima de  $-180^\circ$ ;
- As assíntotas ocorrem próximo à frequência de ressonância ( $\omega_R \approx \omega_n$  para  $\xi$  pequeno);

- Magnitude:

$$M(\omega = \omega_n) = \frac{1}{\sqrt{[1 - (\omega_n/\omega_n)^2]^2 + [2\xi \omega_n/\omega_n]^2}} \approx \frac{1}{\sqrt{2\xi}} \quad (19)$$

- Fase:

$$\phi(\omega = \omega_n) = -\tan^{-1} \left[ \frac{2\xi \omega_n/\omega_n}{1 - (\omega_n/\omega_n)^2} \right] = -90^\circ \quad (20)$$

## 2. Diagrama de Bode

### ▪ 2.5. Sistemas acoplados:

- Sejam duas TF acopladas (convolução):

$$G(\omega) = A(\omega)B(\omega)$$

- Magnitude e fase:

$$|G(\omega)| = |A(\omega)B(\omega)| = |A(\omega)||B(\omega)| \quad (21)$$

$$20 \log|G(\omega)| = 20 \log|A(\omega)B(\omega)| = 20 \log|A(\omega)| + 20 \log|B(\omega)|$$

$$\angle G(\omega) = \angle A(\omega)B(\omega) = \angle A(\omega) + \angle B(\omega) \quad (22)$$

- Assim, o diagrama de Bode de  $G(\omega)$  pode ser expresso como uma composição dos diagramas de bode de  $A(\omega)$  e  $B(\omega)$ .

## 2. Diagrama de Bode

### ▪ 2.6. Erro estacionário de posição:

- Considere um sistema de ordem  $N$  com TF em malha aberta da forma

$$G(s) = \frac{K(T_a s + 1) \cdots (T_m s + 1)}{s^N (T_1 s + 1) \cdots (T_p s + 1)} \quad (23)$$

- Em um **sistema do tipo 0** (sem polos na origem), a **constante de erro de posição** é

$$K_p = \lim_{\omega \rightarrow 0} G(\omega) = K \quad (24)$$

- A assíntota a baixas frequências em magnitude  $|G(\omega)|$  é uma linha horizontal em  $20 \log K_p \rightarrow$  Determinação do erro estacionário em malha fechada a partir do diagrama de Bode em malha aberta.



## 2. Diagrama de Bode

### ▪ 2.6. Erro estacionário de velocidade:

- Em um **sistema do tipo 1** (polo simples na origem), a **constante de erro de velocidade** é

$$K_v = \lim_{\omega \rightarrow 0} j\omega G(\omega) = K \quad (25)$$

- Em baixas frequências ( $\omega \ll 1$ ), (23) pode ser simplificada a

$$G(\omega) = \frac{K_v}{j\omega}$$

$$|G(\omega)| = \frac{K_v}{\omega}$$

- Para  $\omega = 1$ ,  $|G(\omega)| = K_v = 20 \log K_v \rightarrow$  Determinar o erro estacionário de velocidade em malha fechada a partir do diagrama de Bode em malha aberta.

# 3. Identificação de sistemas

- **3.1. Sistemas de primeira ordem:**
  - Redução da magnitude com uma assíntota em  $\omega = 1/\tau$ ;
  - Queda de  $-3$  dB em magnitude e defasagem de  $-45^\circ$  em  $\omega = 1/\tau$ ;
  - Fase inicial de  $0$ , defasagem máxima de  $-90^\circ$ ;
  - Pelo cruzamento de fase em  $-45^\circ$ , é possível obter  $\tau$ .

# 3. Identificação de sistemas

## ▪ 3.2. Sistemas de segunda ordem:

- Redução da magnitude com aumento da frequência;
- Ressonância em  $\omega = \omega_R = \omega_n \sqrt{1 - 2\xi^2}$  para  $\xi < 0.707$ ;
- Defasagem de  $-90^\circ$  em  $\omega \approx \omega_n$ ;
- Fase inicial de 0, defasagem máxima de  $-180^\circ$ ;
- Obter  $\omega_n$  pelo cruzamento de fase em  $-90^\circ$ ;
- Calcular  $\xi$  pela frequência de ressonância ou pelo valor de magnitude a uma frequência conhecida (11).

# 3. Identificação de sistemas

## ▪ 3.3. Polos:

- Polos simples  $1/(s + p)$  causam redução de magnitude e defasagem máxima de  $-90^\circ$  (Ex: integrador e planta de primeira ordem);
- O cruzamento de fase em  $-45^\circ$  ocorre em  $\omega = p$ ;
- A atenuação em  $\omega = p$  é  $-20 \log \sqrt{2}p$ .

# 3. Identificação de sistemas

## ▪ 3.4. Zeros:

- Zeros simples ( $s + z$ ) causam aumento de magnitude e defasagem máxima de  $+90^\circ$  (Ex: derivador);
- Quando  $\omega = z$ , a defasagem é de  $\phi = \tan^{-1}(1) = +45^\circ$ ;
- A amplificação em  $\omega = z$  é  $+20 \log \sqrt{2}z$ .

# Questionário

## ▪ Questionário:

- 1) Por que a resposta de um sistema varia com a frequência do sinal de entrada? Dê exemplos de sistemas reais onde isto ocorre;
- 2) Explique o diagrama de Bode. Como você faria para levantar os diagramas de magnitude e fase **experimentalmente**?
- 3) Verifique e discuta o efeito dos polos e zeros da planta nos diagramas de magnitude e fase.

# Referências

## ■ Referências:

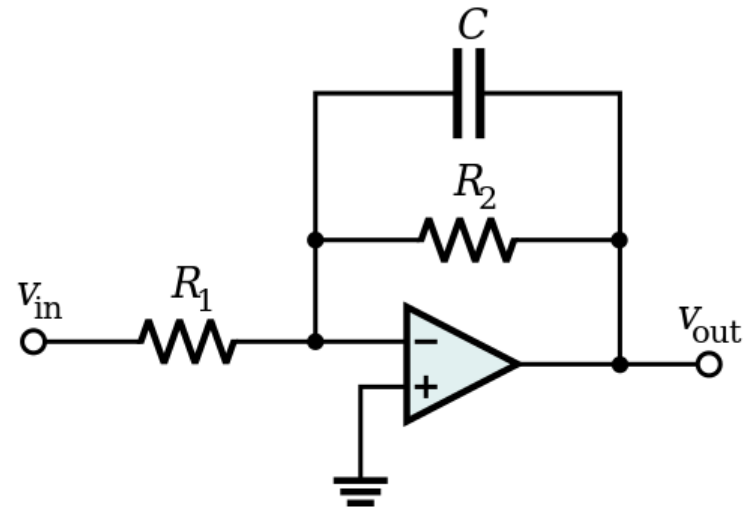
- R. S. Figliola, D. E. Beasley, Theory and Design for Mechanical Measurements, Wiley, 2011.
- G. F. Franklin *et al.*, Feedback Control of Dynamic Systems, Prentice Hall, 2002.
- K. Ogata, Modern Control Engineering, Prentice Hall, 2002.

# Exercícios



# Exercícios

- **Ex. 13.1)** Filtro passa-baixas (assuma ganho sem inversão):
  - a) Determine a função de transferência e analise o diagrama de Bode do filtro  $G_1(s)$ , onde  $R_1 = R_2 = 100 \, \Omega$  e  $C = 100 \, \mu\text{F}$ ;
  - b) Obtenha a resposta do sistema a uma entrada  $u(t) = 50 \sin(2\pi 10t) + 100 \sin(2\pi 100t)$ ;
  - c) Acople um segundo estágio  $G_2(s)$  na saída do primeiro filtro e obtenha a função de transferência e o diagrama de Bode.  
Utilize  $R_1 = R_2 = 100 \, \Omega$  e  $C = 1 \, \mu\text{F}$ .



# Exercícios

## ▪ Ex. 13.1)

- Função de transferência (sem inversão):

$$G(s) = \frac{R_2/R_1}{1 + sR_2C}$$

- Frequência de corte: magnitude atinge  $-3$  dB

$$\omega_c = \frac{1}{R_2C}$$

- Note que o filtro passa-baixa é uma planta de primeira ordem.

# Exercícios

## ▪ Ex. 13.1)

- Função de transferência:

- Filtro 1:  $C = 100 \mu\text{F}$ ;

$$G(j\omega) = \frac{1}{1 + 0.01j\omega}$$

$$\omega_c = 100 \text{ rad/s}$$

$$f_c = 15.92 \text{ Hz}$$

- Filtro 2:  $C = 1 \mu\text{F}$ ;

$$G(j\omega) = \frac{1}{1 + 0.0001j\omega}$$

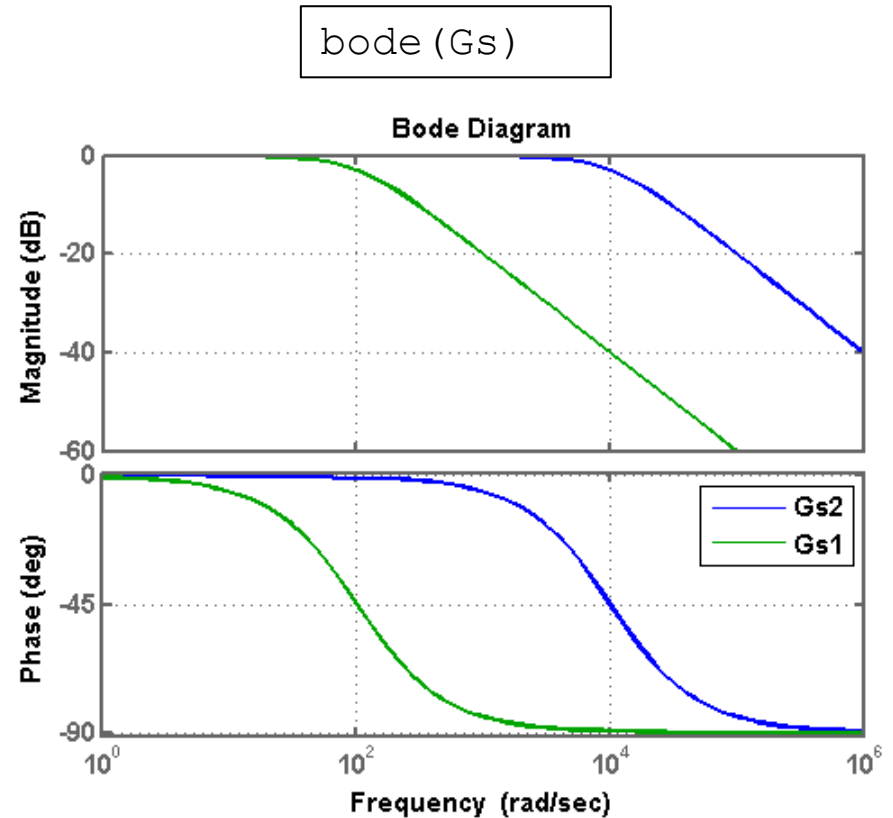
$$\omega_c = 10000 \text{ rad/s}$$

$$f_c = 1.59 \text{ kHz}$$

# Exercícios

## ■ Ex. 13.1)

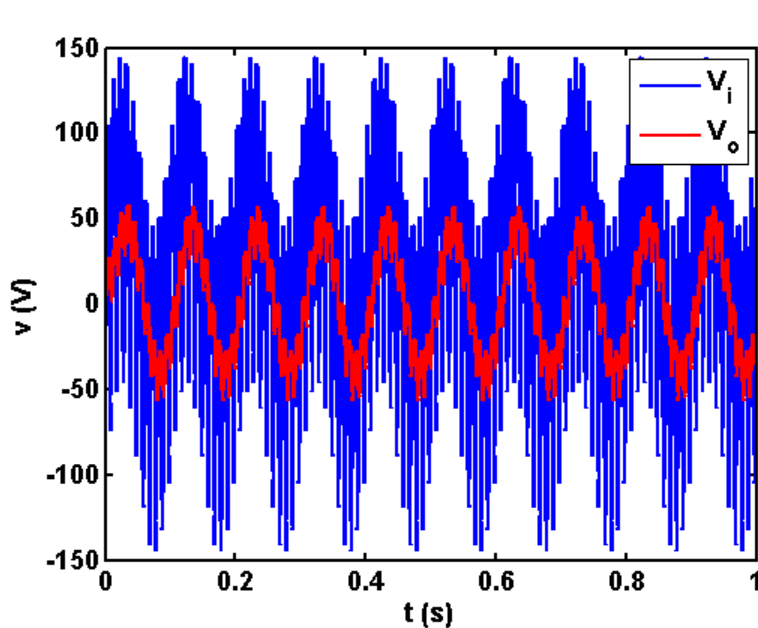
- Diagrama de Bode:
  - Frequências de corte de 100 rad/s ( $G_1$ ) e 10000 rad/s ( $G_2$ ) → polo simples em  $\omega_c$ ;
  - Fase varia de 0 a  $-90^\circ$ ;
  - Constante de erro de posição  $K_p = 10^0 = 1$ , erro em malha fechada de  $e_{ss} = 0.5$ .



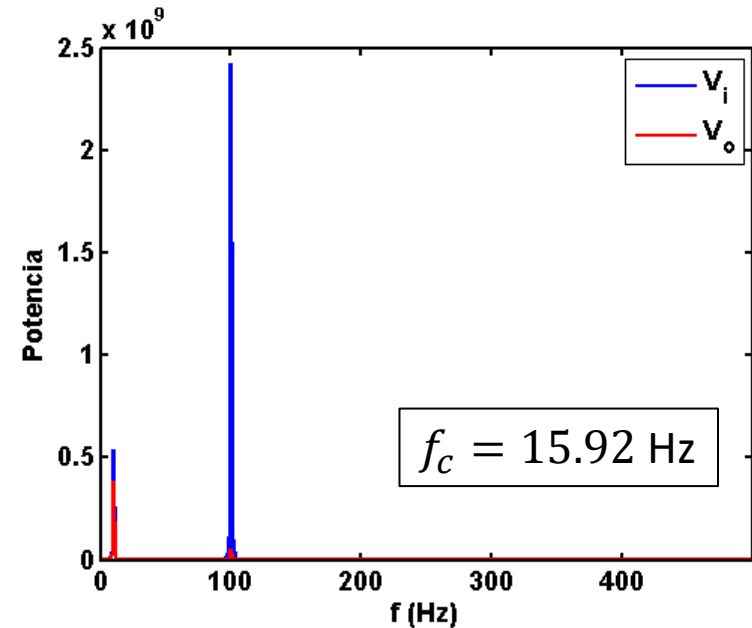
# Exercícios

## ■ Ex. 13.1)

- Resposta de  $G_1(s)$  a  $u(t) = 50 \sin(2\pi 10t) + 100 \sin(2\pi 100t)$ ;



Resposta no tempo.



Espectro de potência.

# Exercícios

## ▪ Ex. 13.1)

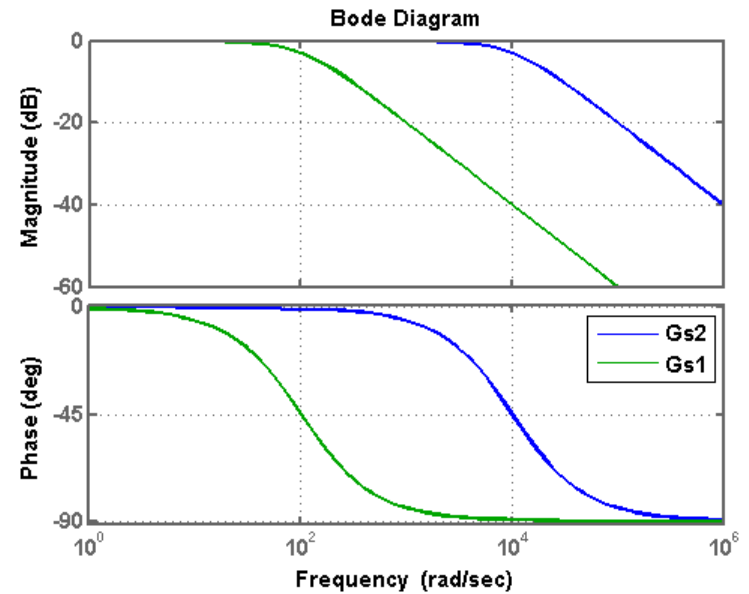
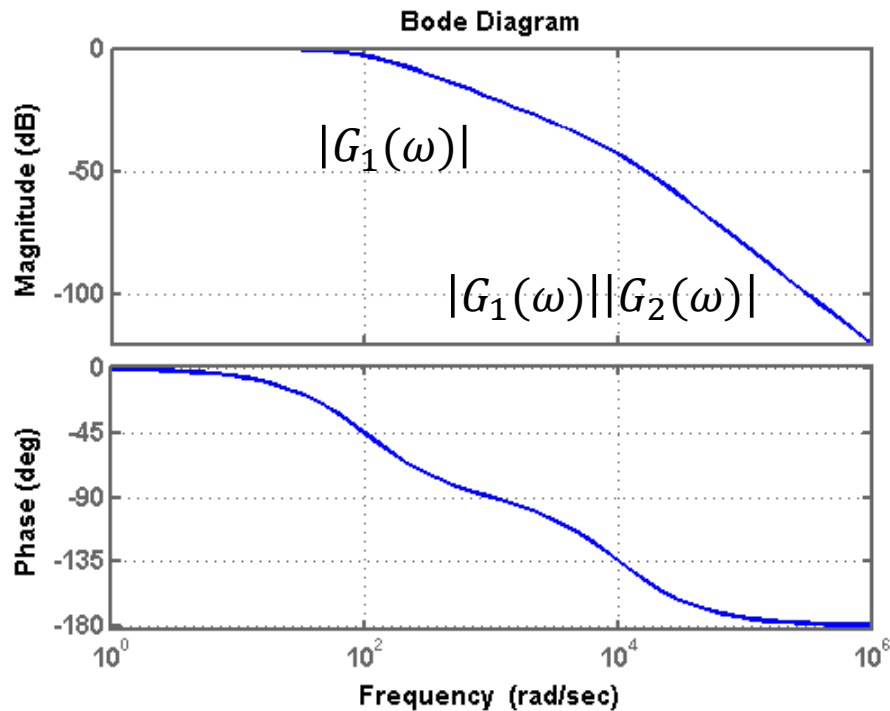
- Função de transferência: filtros concatenados

$$G(s) = G_2(s)G_1(s) = \frac{1}{10^{-6}s^2 + 0.0101s + 1}$$

- Sistema de segunda ordem com polos  $s = 10000$  e  $s = 100$ ;
- Durante a banda de transmissão de  $G_2(s)$ , a resposta de  $G(s)$  é dada majoritariamente por  $G_1(s)$  uma vez que a atenuação e a defasagem de  $G_2(s)$  são mínimas;
- Acima da frequência de corte de  $G_2(s)$ , a defasagem aumenta com a frequência até  $\phi = -90^\circ - 90^\circ = -180^\circ$ , enquanto que a magnitude é atenuada a um fator  $|G(\omega)| = |G_1(\omega)||G_2(\omega)|$  (note a mudança na assíntota).

# Exercícios

- Ex. 13.1)
  - Diagrama de Bode: filtros concatenados



# Exercícios

- **Ex. 13.2)** Seja um sistema do tipo massa-mola-amortecedor com  $m = 10$  kg,  $k = 5$  N/m e  $c = (10, 2, 0.1)$  N.s/m. Para cada sistema:
  - a) Obtenha a função de transferência e analise as suas características;
  - b) Plote o diagrama de Bode;
  - c) Mostre a resposta a uma entrada  $u(t) = \sin(\omega_0 t)$  com  $\omega_0 = (0.1, 0.707, 10)$  rad/s.



# Exercícios

## ▪ Ex. 13.2)

- Função de transferência (não-normalizada):

$$G(s) = \frac{1}{ms^2 + cs + k}$$

- Frequência natural:  $\omega_n = \sqrt{k/m} = 0.707 \text{ rad/s}$ ;
- Fator de amortecimento:  $\xi = c/2\sqrt{km}$ ;
- Ganho:  $K = 1/k = 0.2$ ;
- Frequência de ressonância:  $\omega_R = \omega_n\sqrt{1 - 2\xi^2}$ ;
- Polos:  $s = -\sigma \pm j\omega_d = -\xi\omega_n \pm j\omega_n\sqrt{1 - \xi^2}$ .

# Exercícios

## ▪ Ex. 13.2)

- Função de transferência:

- $c = 10$ :

$$G_1(s) = \frac{1}{10s^2 + 10s + 5}$$

$$\xi_1 = 0.707$$

$$s = -0.2 \pm j0.68$$

$$\omega_{R1} = \text{NA}$$

- $c = 2$ :

$$G_2(s) = \frac{1}{10s^2 + 2s + 5}$$

$$\xi_2 = 0.141$$

$$s = -0.1 \pm j0.7$$

$$\omega_{R2} = 0.69 \text{ rad/s}$$

- $c = 0.1$ :

$$G_3(s) = \frac{1}{10s^2 + 0.1s + 5}$$

$$\xi_3 = 0.007$$

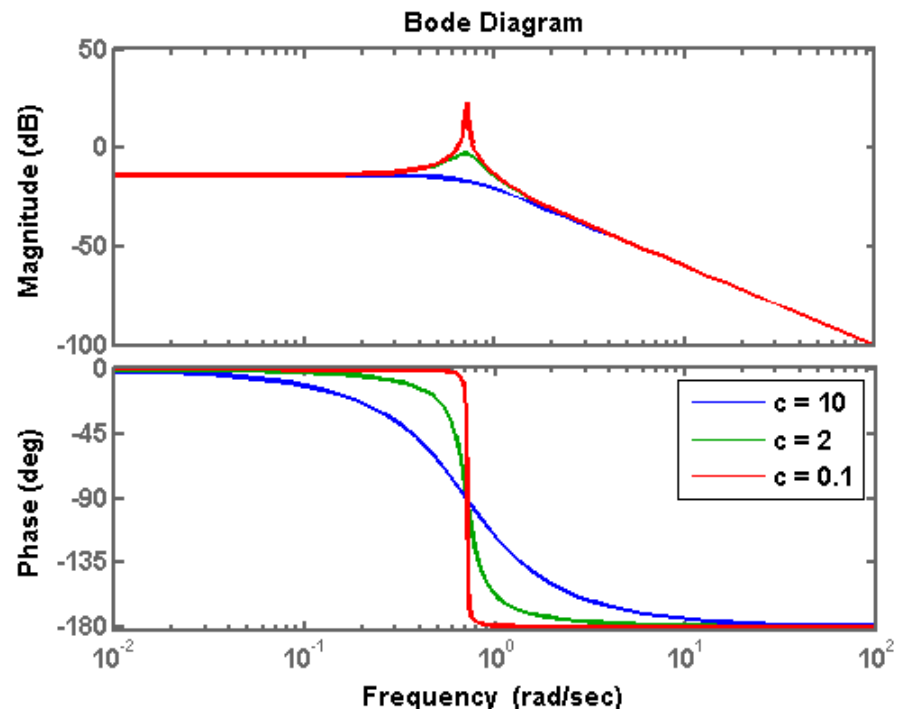
$$s = -0.005 \pm j0.7$$

$$\omega_{R3} = 0.71 \text{ rad/s}$$

# Exercícios

## ■ Ex. 13.2)

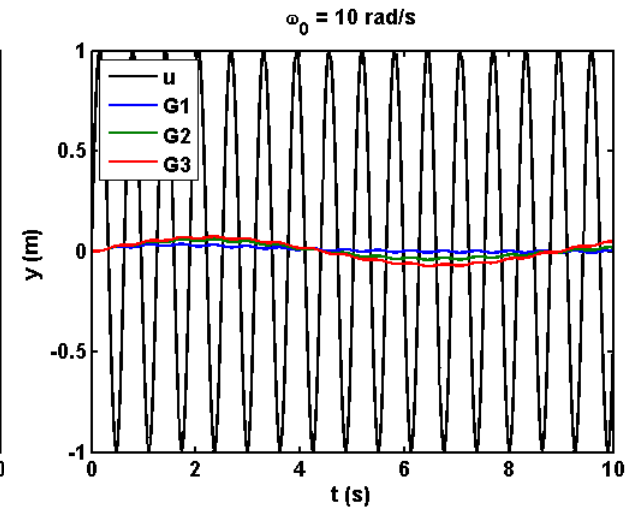
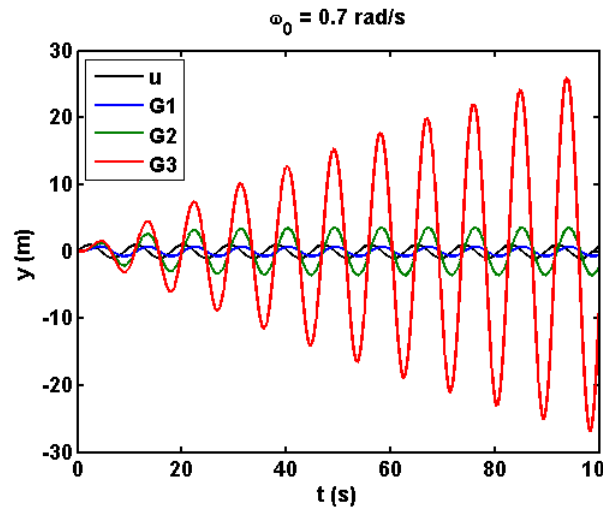
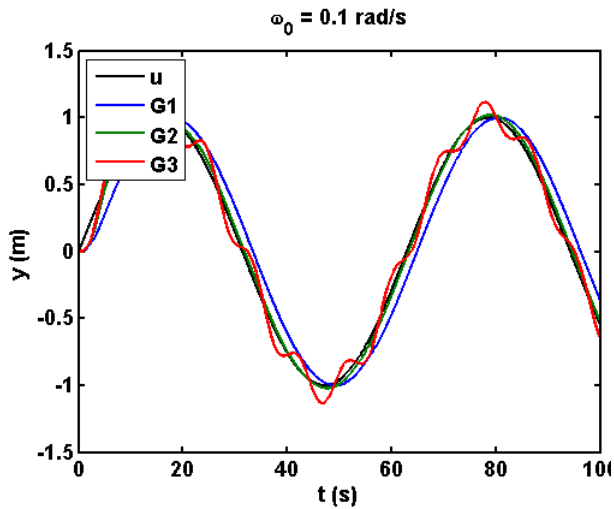
- Diagrama de Bode:
  - Magnitude começa em  $20 \log 0.2 = -14$  dB;
  - Pico de ressonância e defasagem abrupta em  $\omega = \omega_n$ ;
  - Fase varia de  $0$  a  $-180^\circ$  com transição de  $-90^\circ$  na frequência de corte.



# Exercícios

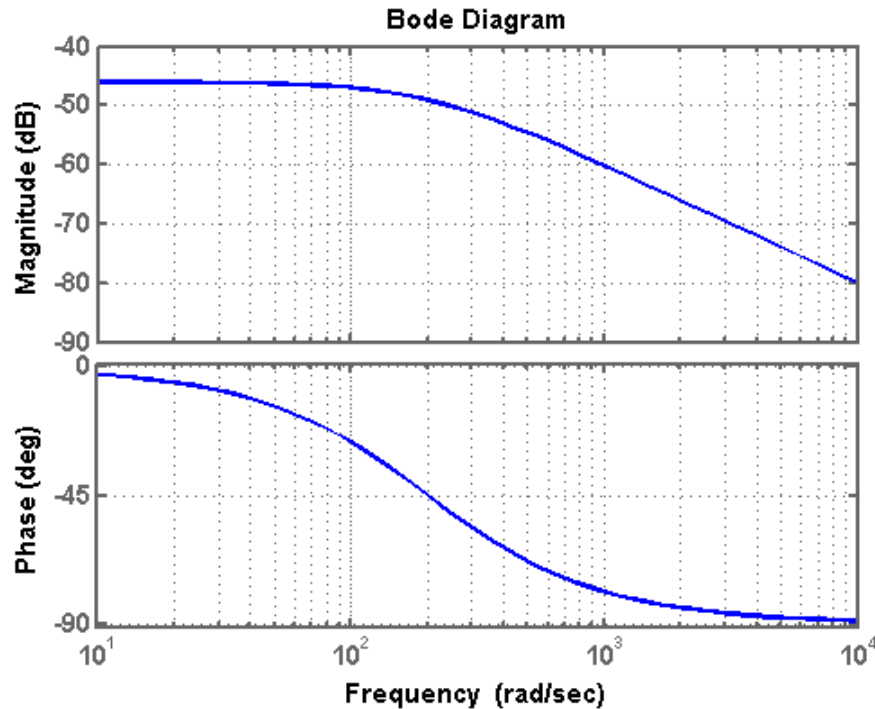
## ■ Ex. 13.2)

- Resposta no tempo (saída normalizada):



# Exercícios

- **Ex. 13.3)** Identifique a planta para os diagramas de Bode apresentados a seguir.
  - a)



# Exercícios

## ▪ Ex. 13.3)

- a)

- A fase vai de 0 a  $-90^\circ$  e a magnitude é atenuada com uma única mudança de assíntota, portanto, o sistema é uma planta de primeira ordem da forma

$$G(j\omega) = \frac{K}{1 + j\omega T}$$

- O ganho é calculado para baixas frequências:
  - $20 \log K = -46 \text{ dB} \rightarrow K = 0.005$ ;
- A fase atinge  $\phi = -45^\circ$  em  $\omega = 200 \text{ rad/s}$ , assim:
  - $\omega T = 1 \Rightarrow T = \frac{1}{200} = 0.005$

# Exercícios

## ▪ Ex. 13.3)

- a)

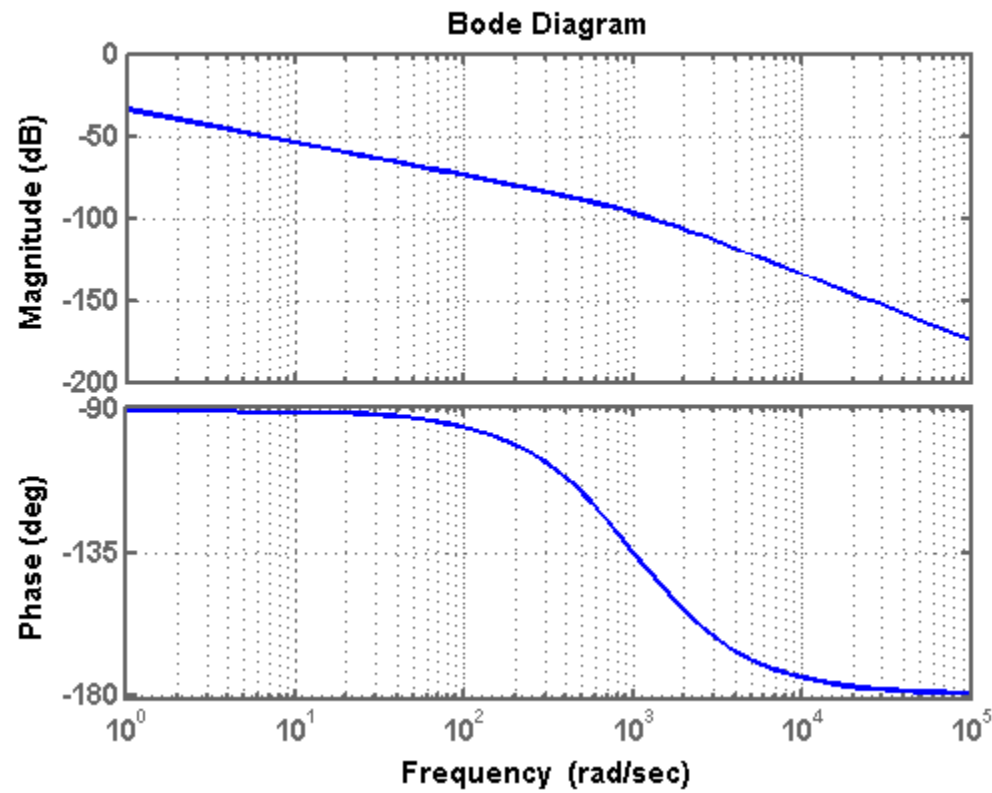
- A função de transferência do sistema é

$$G(s) = \frac{0.005}{1 + j\omega 0.005} = \frac{1}{200 + s}$$

- A constante de tempo é  $T = 0.005$ ;
- O sistema possui um polo em  $s = -200$ , portanto é estável;
- A constante de erro estático de posição é  $K_p = 0.005$ .

# Exercícios

- Ex. 13.3)
  - b)





# Exercícios

## ▪ Ex. 13.3)

### • b)

- A fase começa em  $-90^\circ$ , portanto o sistema possui um polo na origem;
- Em seguida, o sistema defasa  $-90^\circ$  com o aumento da frequência, indicando uma planta de primeira ordem;
- A magnitude não começa em zero, indicando um ganho:
  - $20 \log K = -34 \text{ dB} \rightarrow K = 0.02$ ;
- A fase cruza  $-90^\circ - 45^\circ = -135^\circ$  em  $\omega = 1000 \text{ rad/s}$ :
  - $1000T = 1 \Rightarrow T = 0.001 \text{ s}$

# Exercícios

## ▪ Ex. 13.3)

- b)

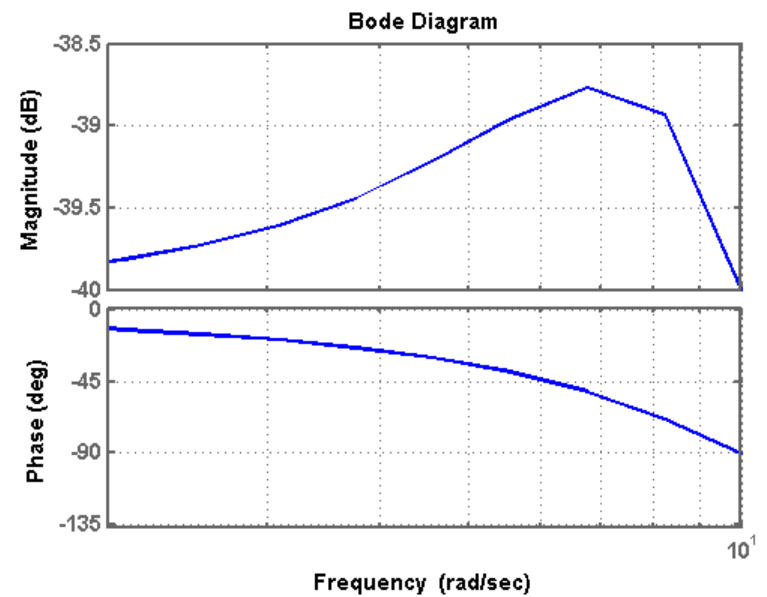
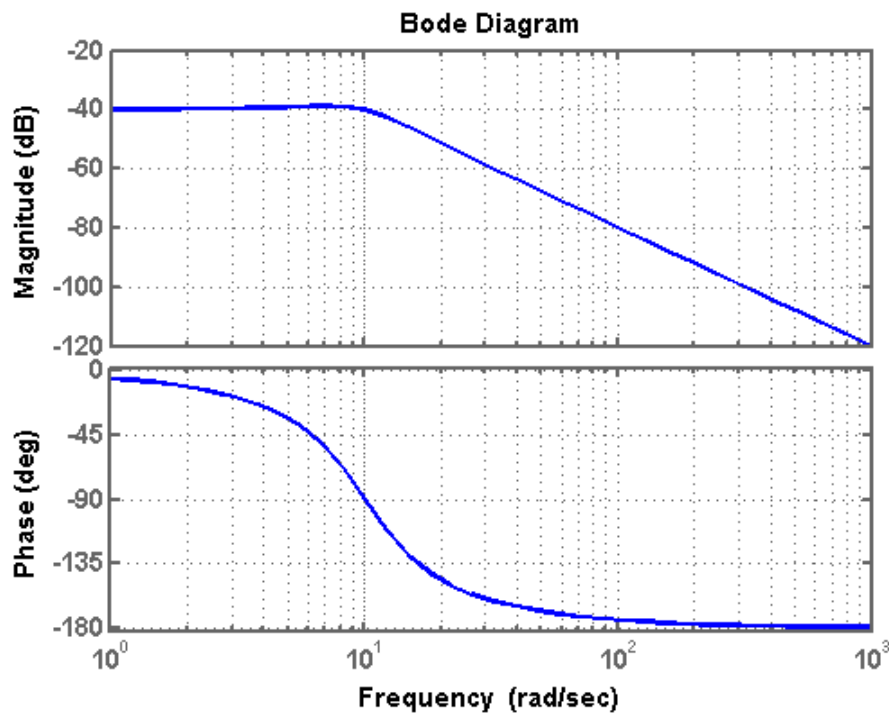
- Função de transferência:

$$G(s) = \frac{K}{s(Ts + 1)} = \frac{0.02}{s(0.001s + 1)}$$

- A planta possui um polo em  $s = 0$  e um polo em  $s = -1000$ ;
    - A constante de erro estacionário de velocidade é  $K_v = 0.02$ .

# Exercícios

- Ex. 13.3)
  - c)



# Exercícios

## ▪ Ex. 13.3)

### • c)

- A fase varia de  $0$  a  $-180^\circ$  enquanto que a magnitude decresce com uma única inflexão, portanto o sistema é uma planta de segunda ordem;
- Ganho em baixas frequências:
  - $20 \log K = -40 \text{ dB} \rightarrow K = 0.01$ ;
- A fase atinge  $-90^\circ$  em  $\omega = 10 \text{ rad/s}$ :
  - $\frac{\omega}{\omega_n} = 1 \Rightarrow \omega_n = 10 \text{ rad/s}$ ;
- Frequência de ressonância:  $\omega_R \cong 7 \text{ rad/s}$ 
  - $\omega_R = \omega_n \sqrt{1 - 2\xi^2} \Rightarrow \xi = 0.51$

# Exercícios

## ▪ Ex. 13.3)

- c)

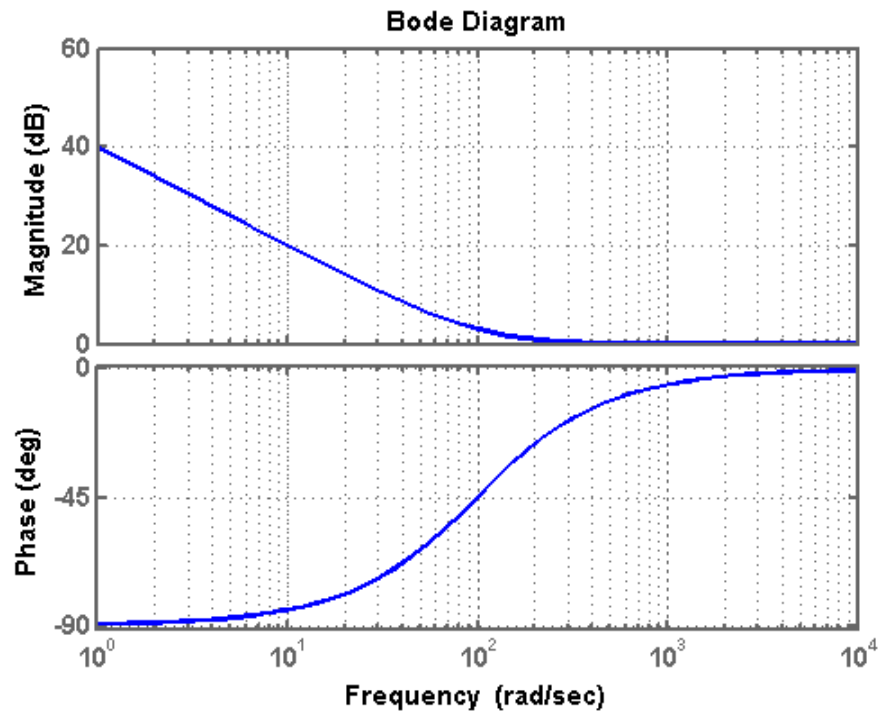
- Função de transferência:

$$G(s) = \frac{K \omega_n^2}{s^2 + 2\xi \omega_n s + \omega_n^2} = \frac{1}{s^2 + 10.1s + 100}$$

- Polos:  $s = -5.05 \pm j8.63$ ;
- Sistema estável e subamortecido.

# Exercícios

- Ex. 13.3)
  - d)



# Exercícios

## ▪ Ex. 13.3)

- d)
  - A fase começa em  $-90^\circ$ , indicando um polo na origem;
  - A fase aumenta até  $-90^\circ + 90^\circ = 0^\circ$ , portanto o sistema possui um zero;
  - A função de transferência é do tipo

$$G(s) = K \frac{Ts + 1}{s}$$

$$|G(j\omega)| = \frac{K}{\omega} \sqrt{(T\omega)^2 + 1}$$

$$\phi(j\omega) = \tan^{-1} \left( -\frac{1}{T\omega} \right)$$

# Exercícios

## ▪ Ex. 13.3)

- d)

- Ganho a altas frequências:

$$\lim_{\omega \rightarrow \infty} M(\omega) = \frac{K}{\omega} \sqrt{(T\omega)^2} = KT = 10^{0/20} \Rightarrow KT = 1$$

- Ganho em  $\omega = 1$  rad/s:

$$M(\omega = 1) = K\sqrt{T^2 + 1} = 10^{40/20} = 100 \Rightarrow T = 0.01 \Rightarrow K = 100$$

- Função de transferência:

$$G(s) = 100 \frac{0.01s + 1}{s}$$